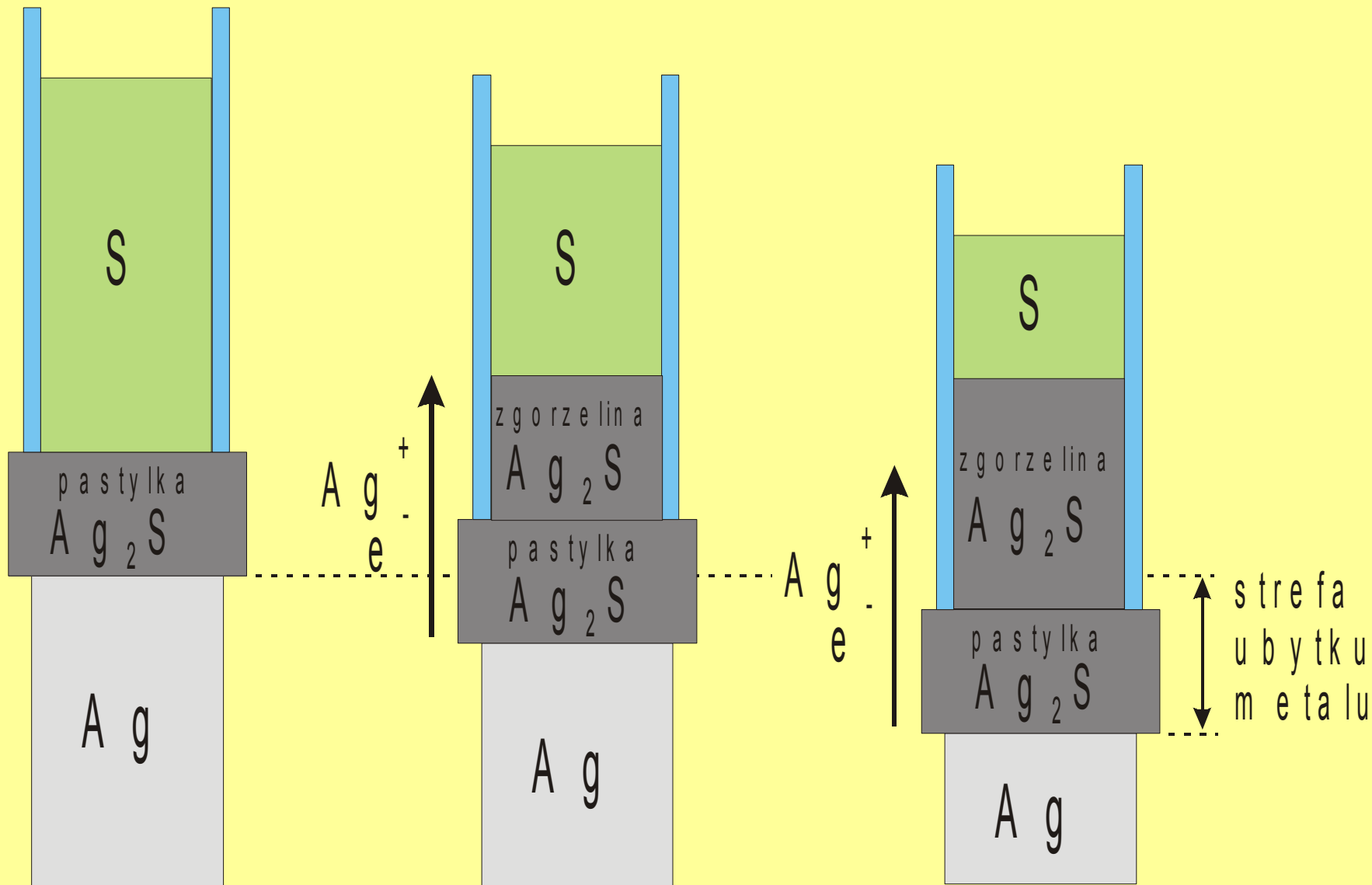


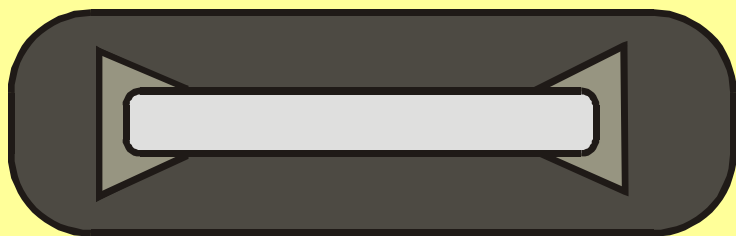
DYSOCJACYJNY MECHANIZM  
NARASTANIA ZGORZELIN NA METALACH

# METODA PASTYLKOWA WAGNERA

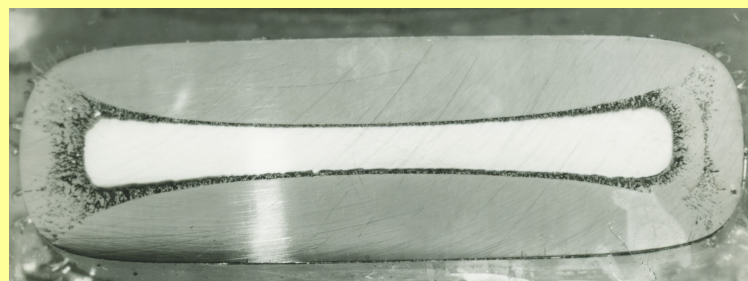
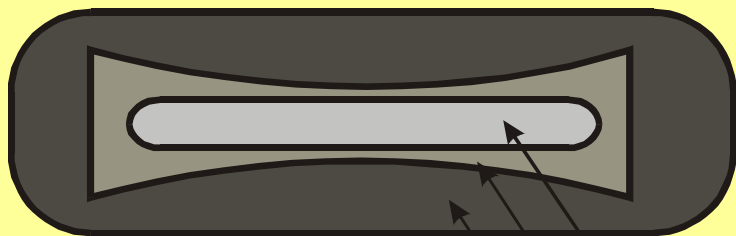


# WPŁYW KRAWĘDZI NA MORFOLOGIE ZGORZELIN

schemat



Ag-Ag<sub>2</sub>S-S<sub>2</sub>

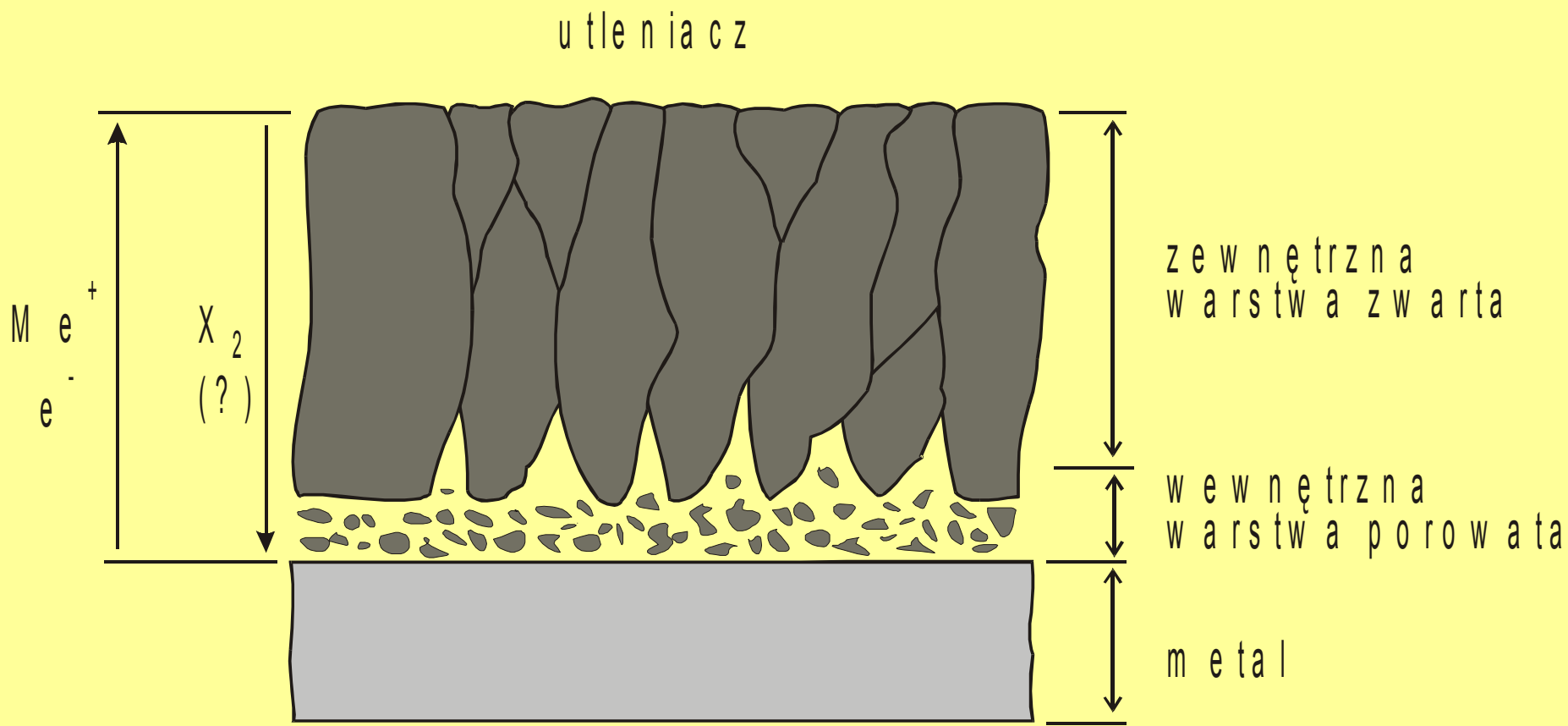


rdzeń m e t a l i c z n y

p o r o w a t a w a r s t w a w e w n ę t r z n a

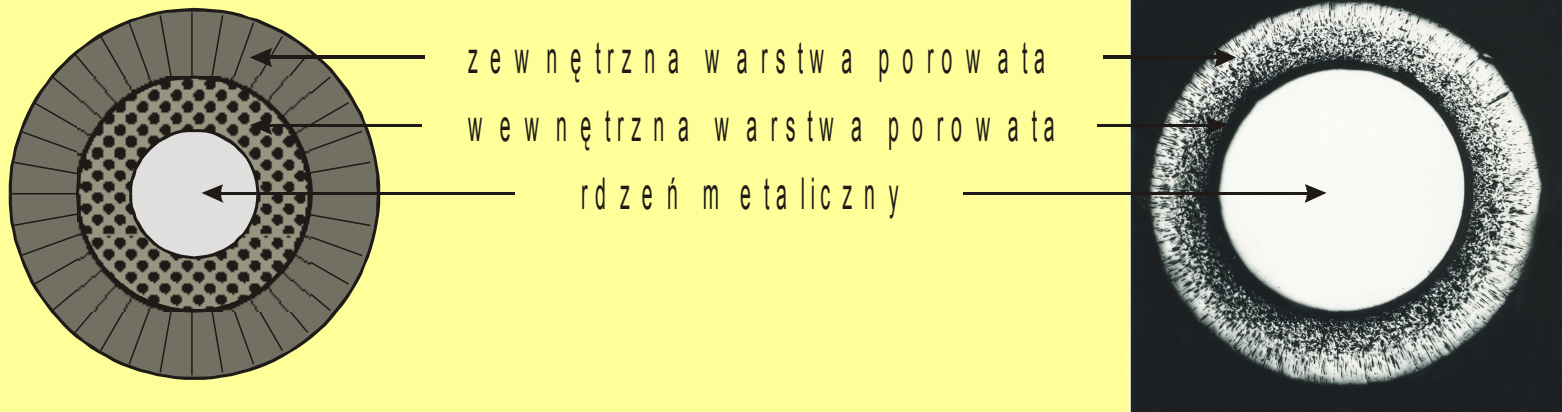
z w a r t a w a r s t w a z e w n ę t r z n a

# MORFOLOGIA ZGORZELIN POWSTAJĄCYCH W WYNIKU ODRDZENIOWEJ DYFUZJI METALU

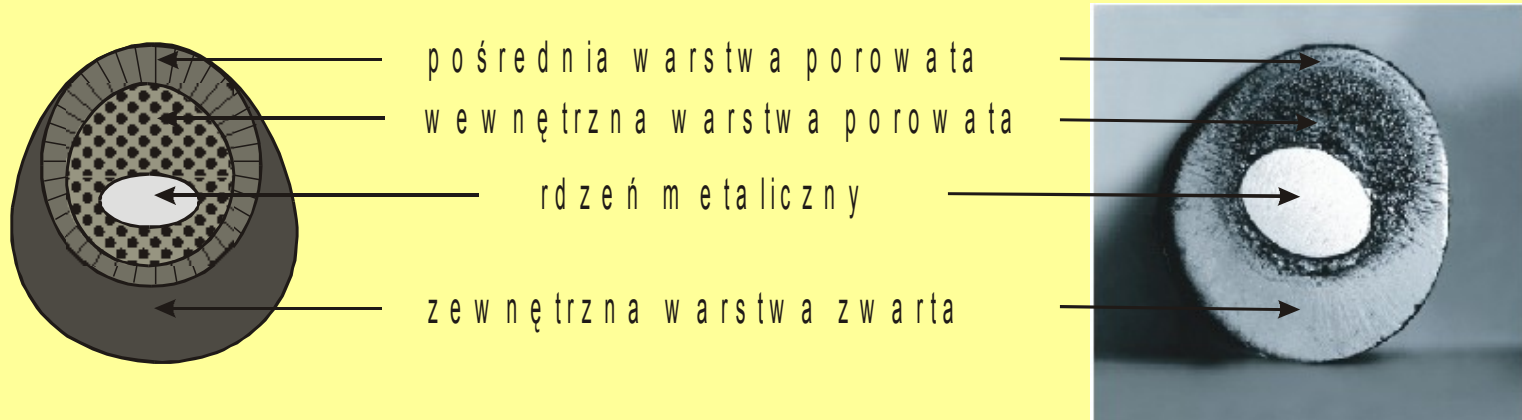


# MORFOLOGIA ZGORZELIN POWSTAJĄCYCH NA PREPARATACH W KSZTAŁCIE WALCÓW

## SIARKOWANIE W POZYCJI PIONOWEJ

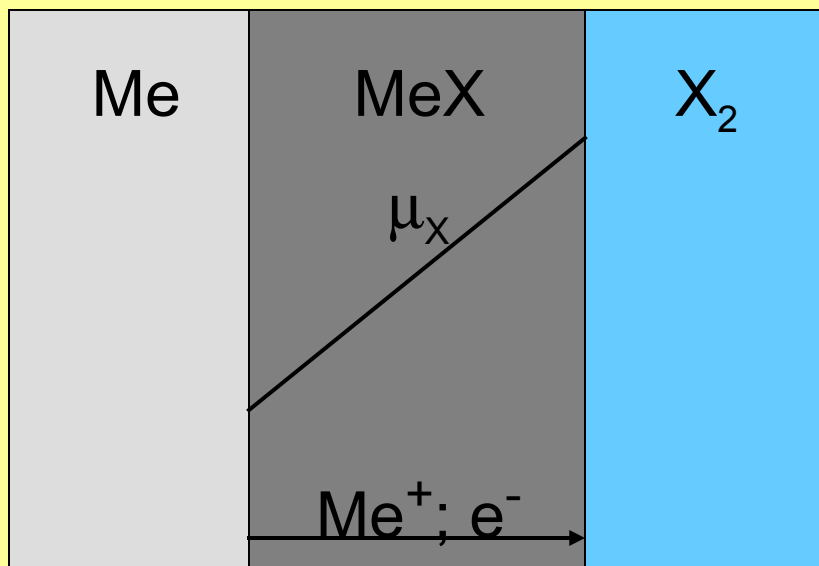


## SIARKOWANIE W POZYCJI POZIOMEJ

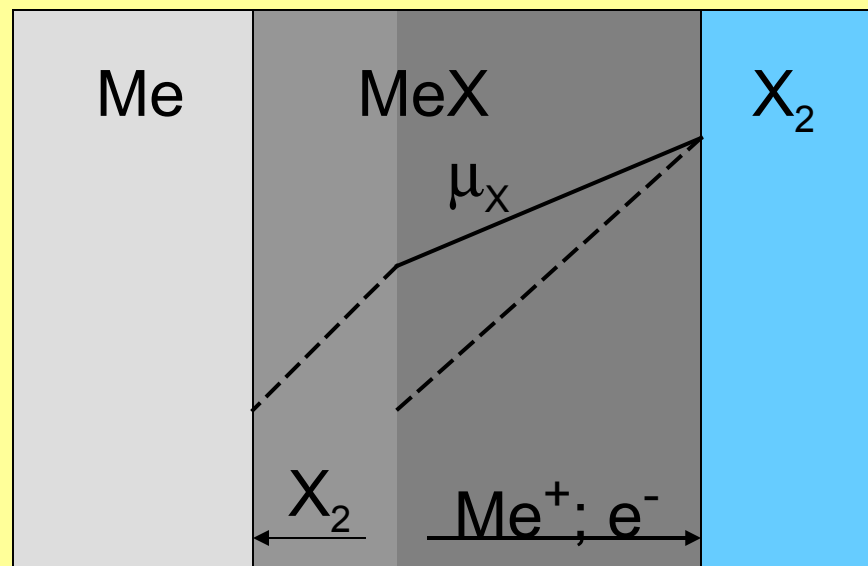


# SCHEMAT MECHANIZMU DYSOCJACYJNEGO POWSTAWANIA ZGORZELIN NA METALACH

Zgorzelina jednowarstwowa

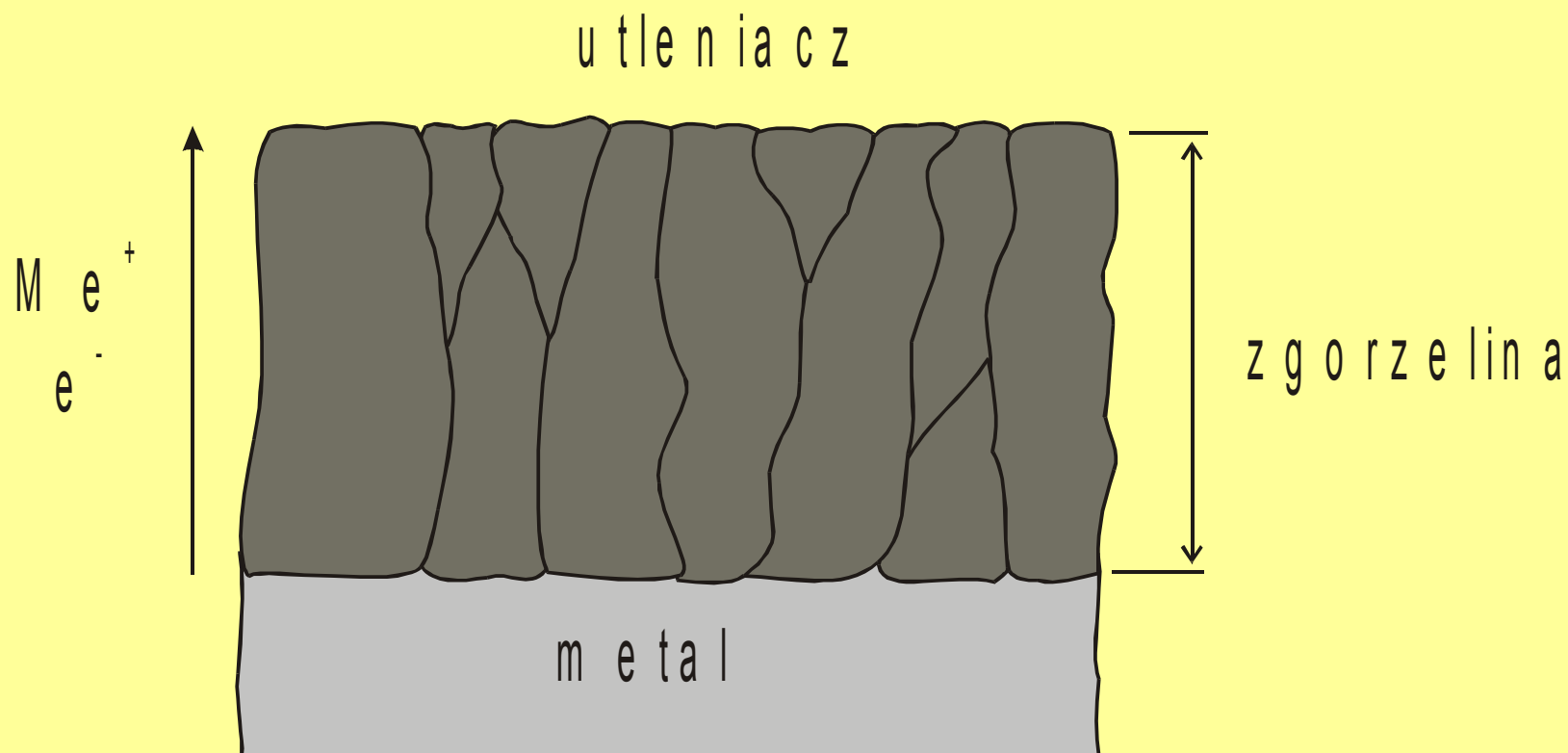


Zgorzelina dwuwarstwowa



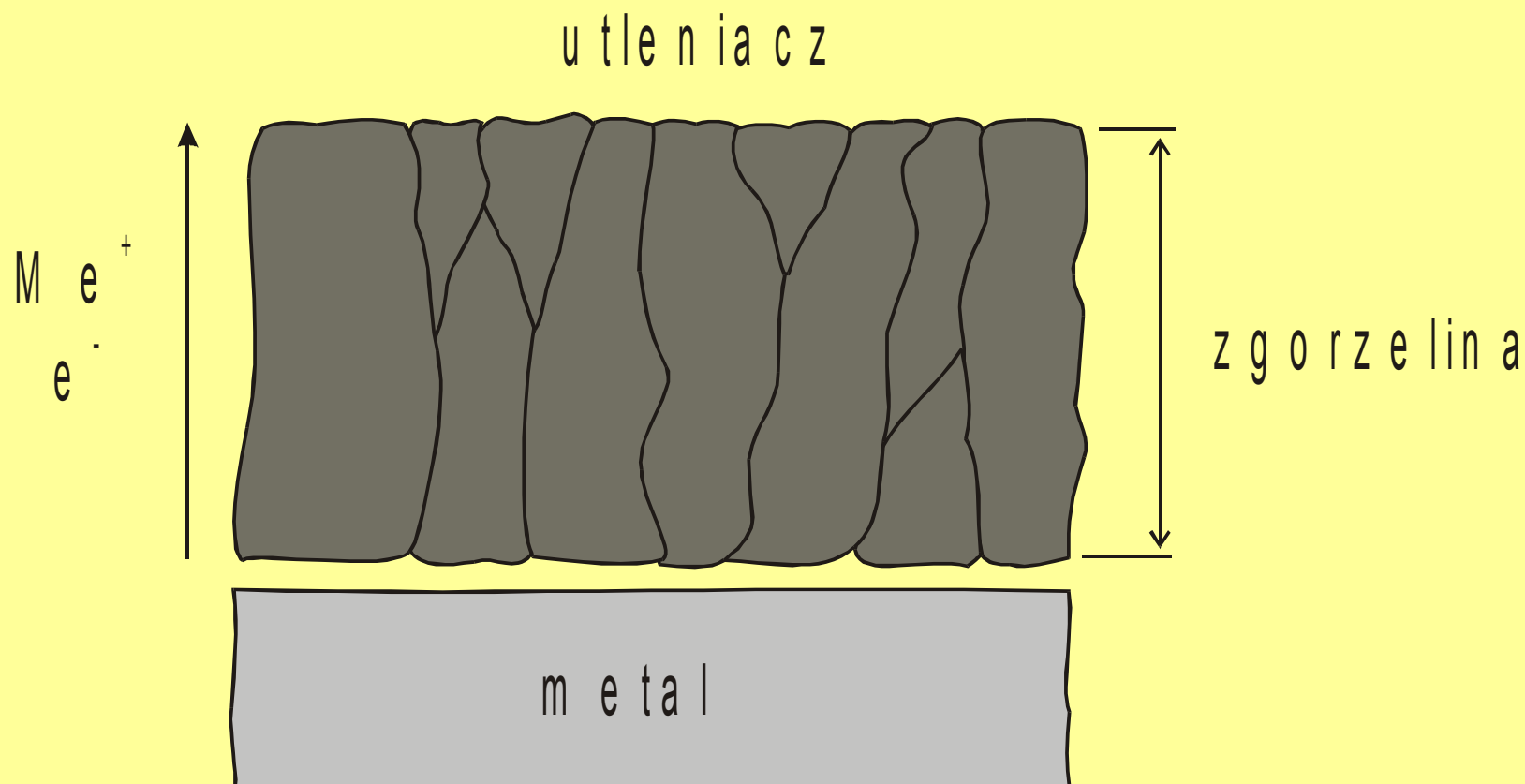
# SCHEMAT MECHANIZMU DYSOCJACYJNEGO POWSTAWANIA ZGORZELIN NA METALACH

Etap I:



# SCHEMAT MECHANIZMU DYSOCJACYJNEGO POWSTAWANIA ZGORZELIN NA METALACH

Etap II:

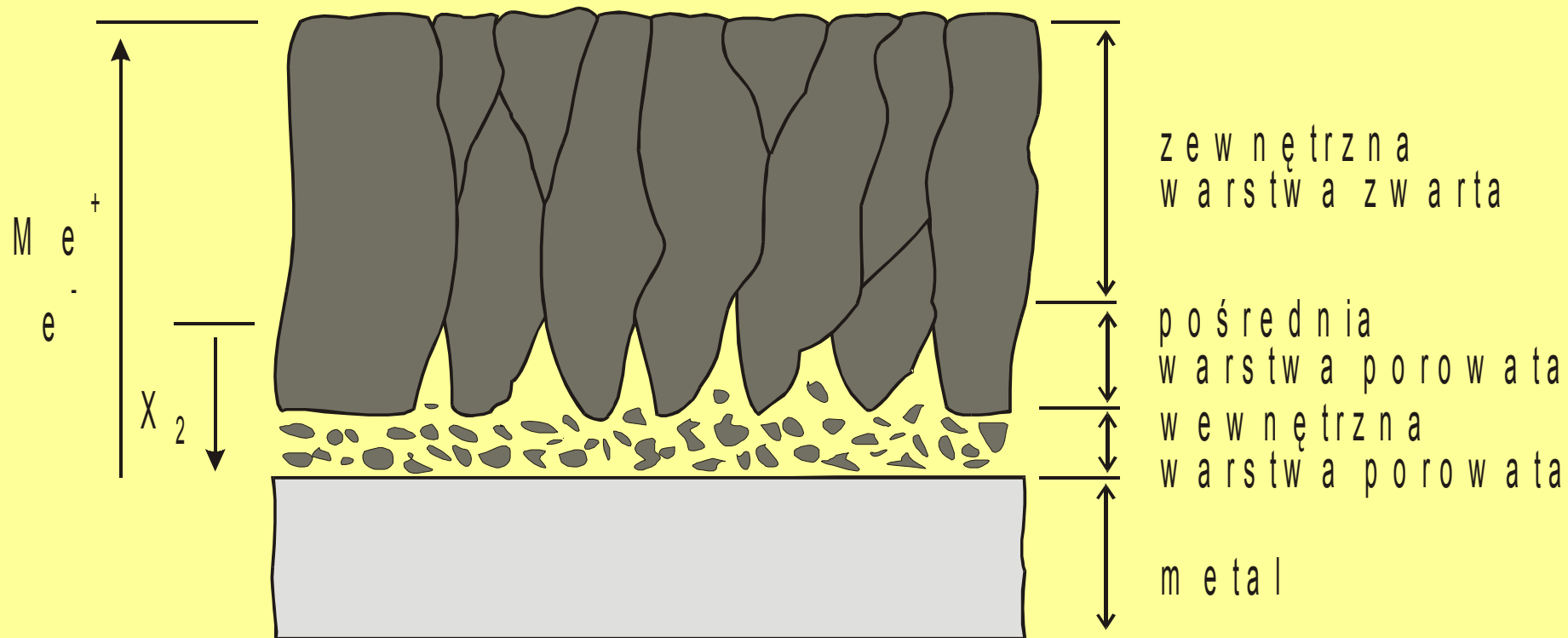




# SCHEMAT MECHANIZMU DYSOCJACYJNEGO POWSTAWANIA ZGORZELIN NA METALACH

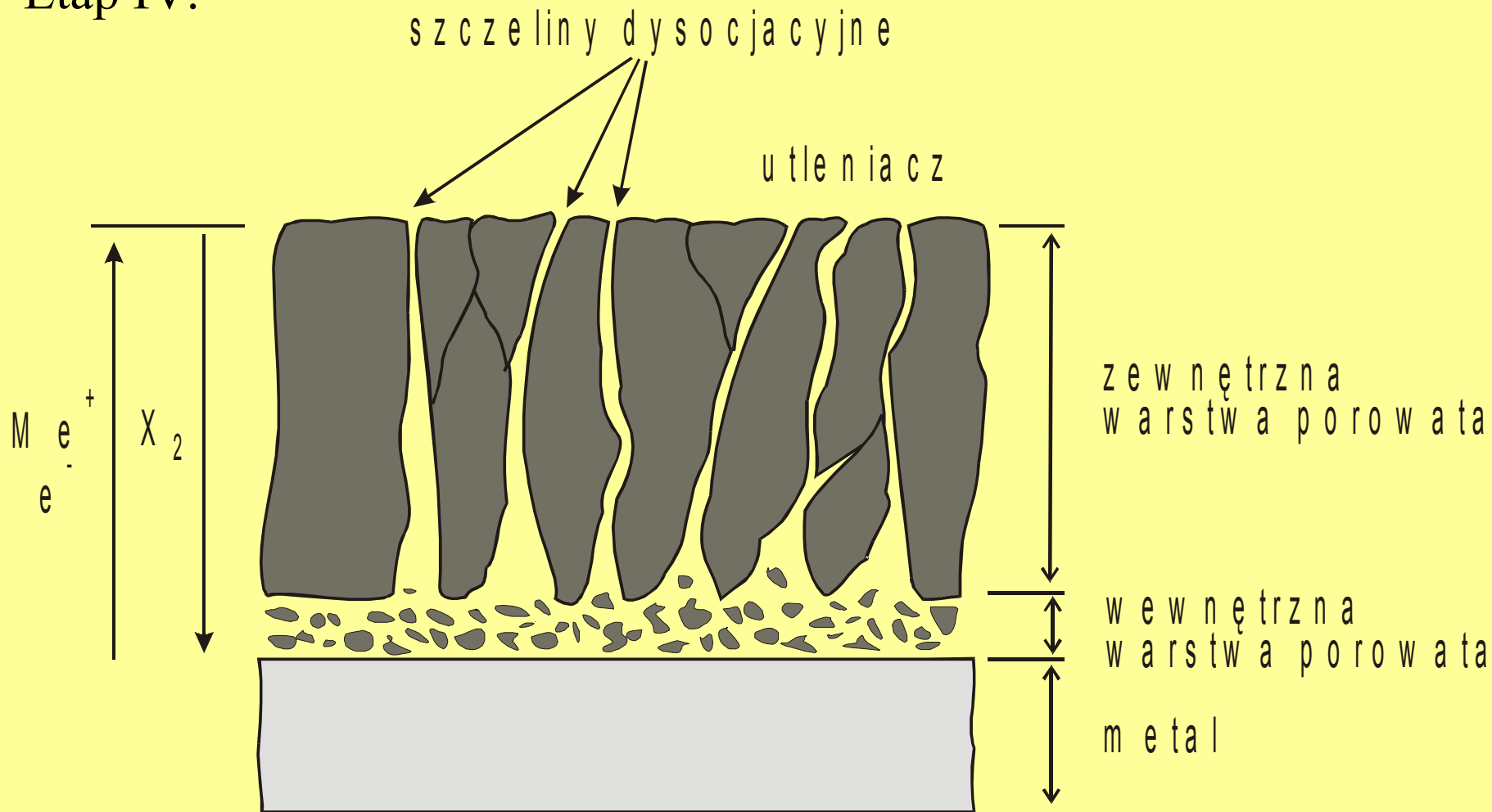
ETAP III:

u t l e n i a c z



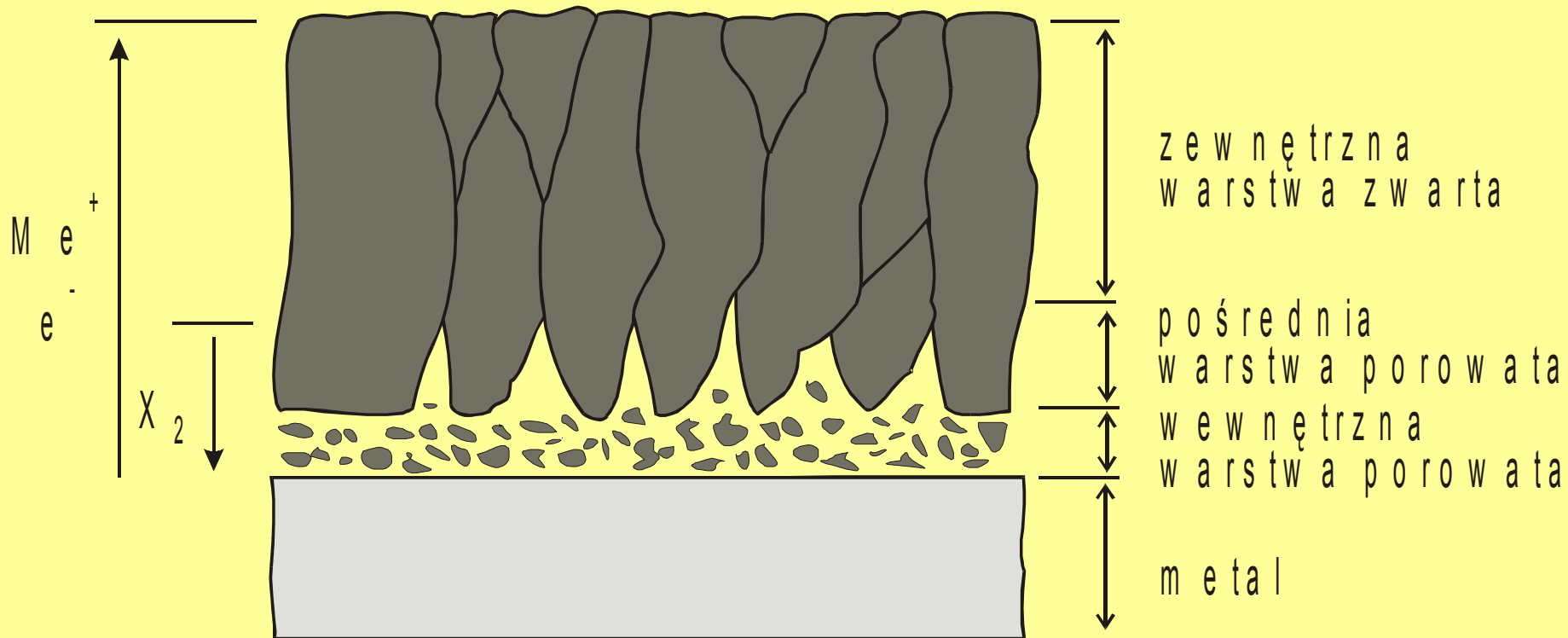
# SCHEMAT MECHANIZMU DYSOCJACYJNEGO POWSTAWANIA ZGORZELIN NA METALACH

Etap IV:

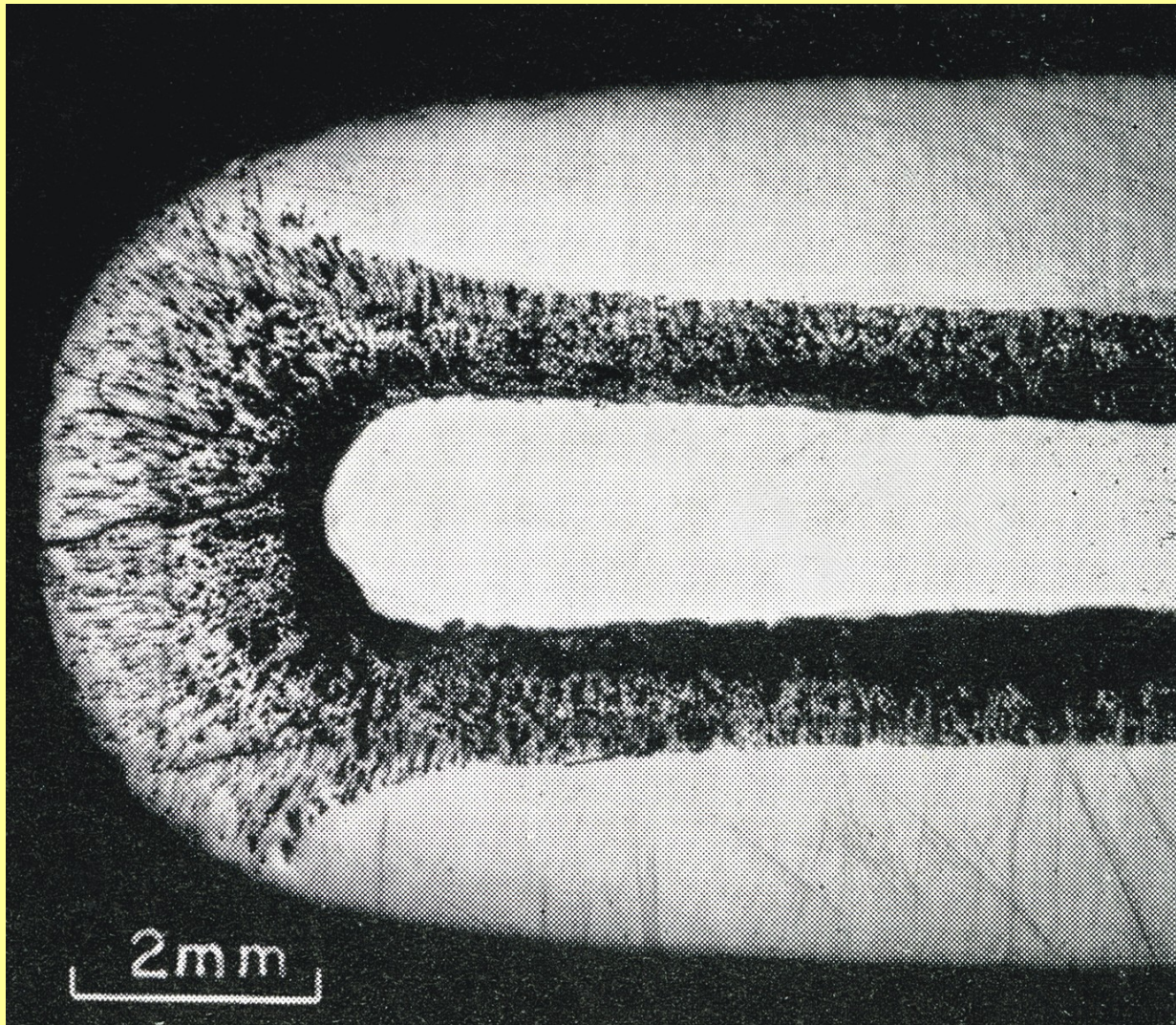


# MECHANIZM POWSTAWANIA TRÓJWARSTWOWEJ ZGORZELINY W OBSZARZE POWIERZCHNI PŁASKICH

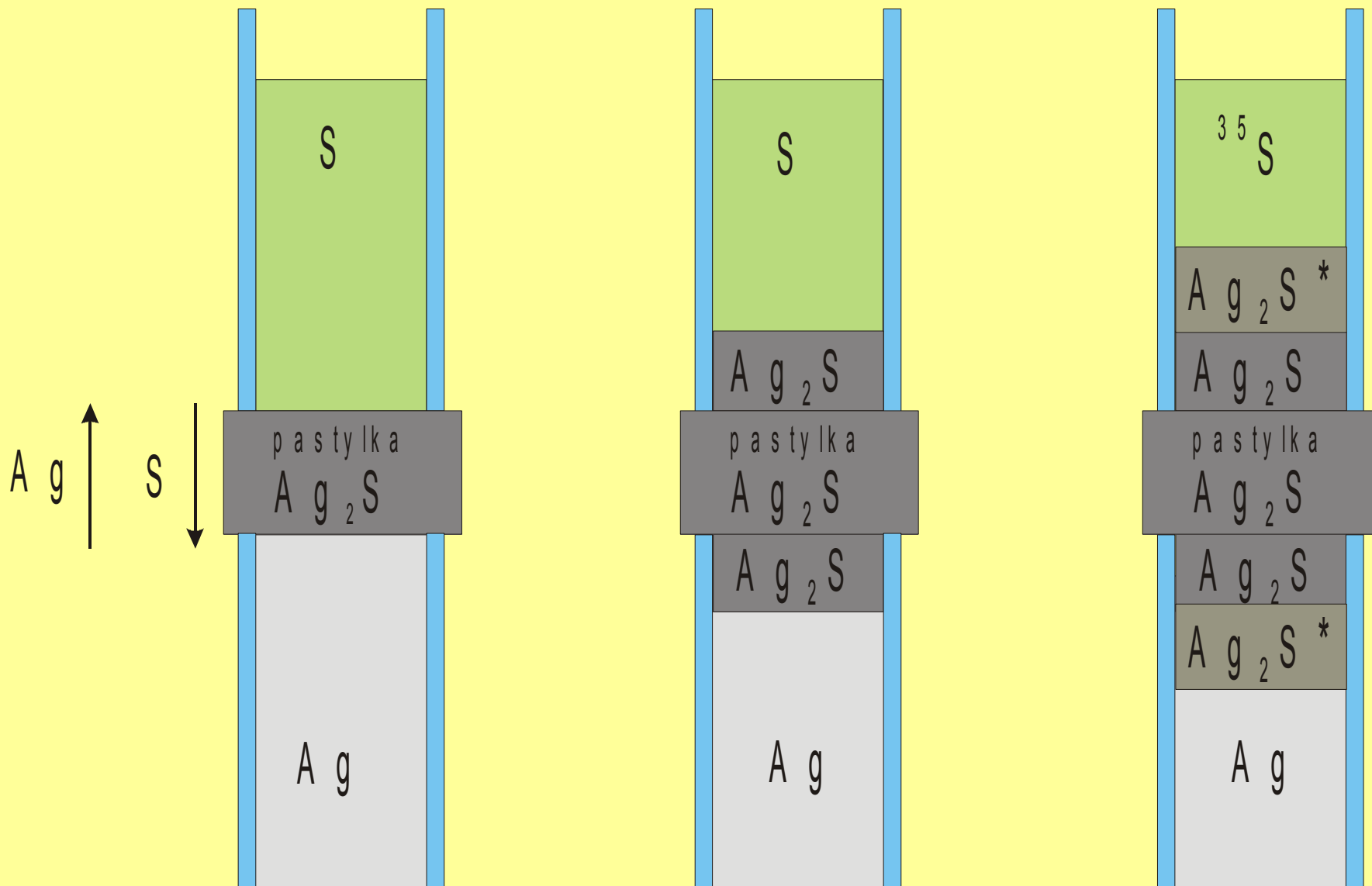
u t l e n i a c z



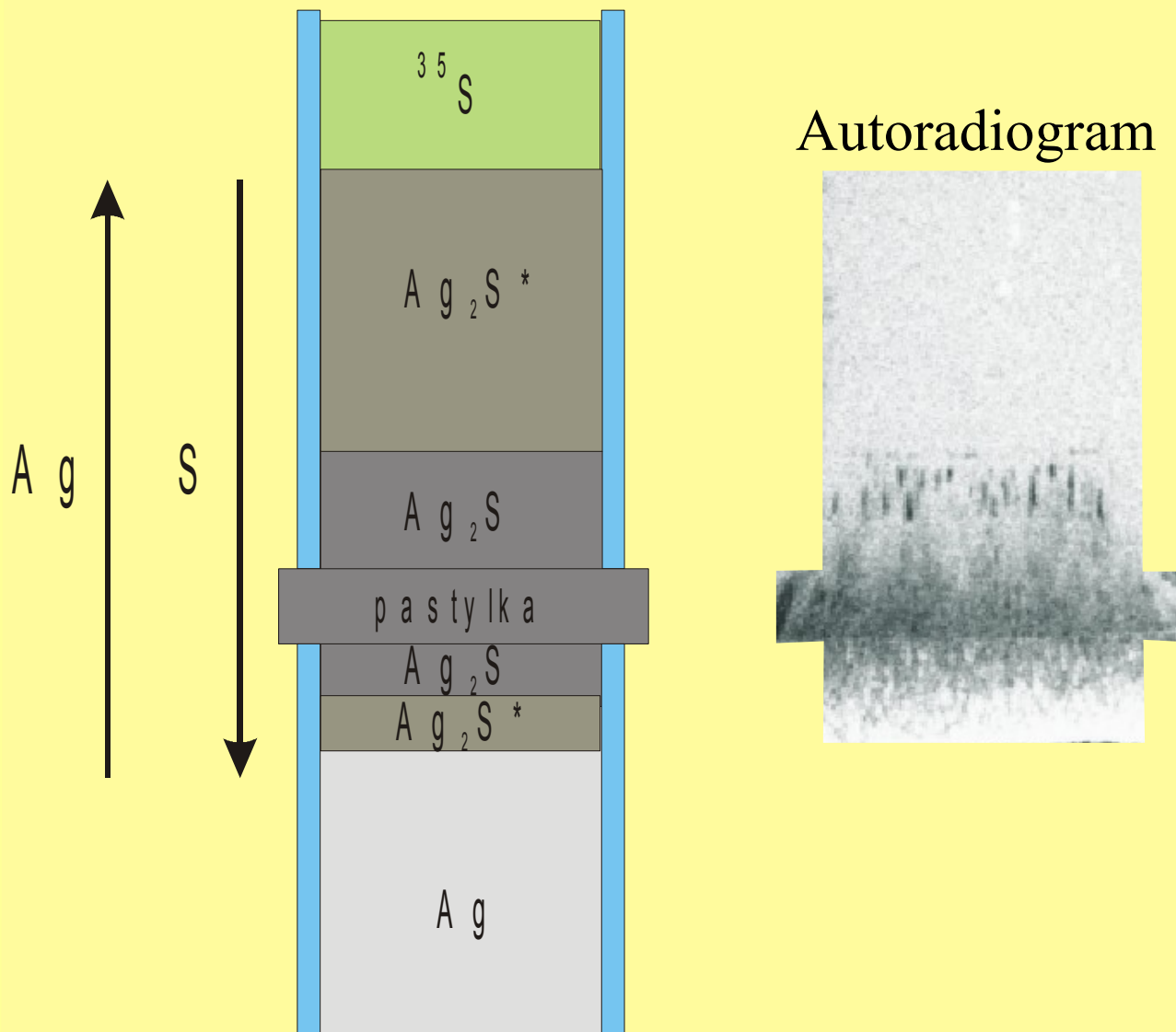
# WPŁYW KRAWĘDZI NA BUDOWĘ MORFOLOGICZNA ZGORZELIN



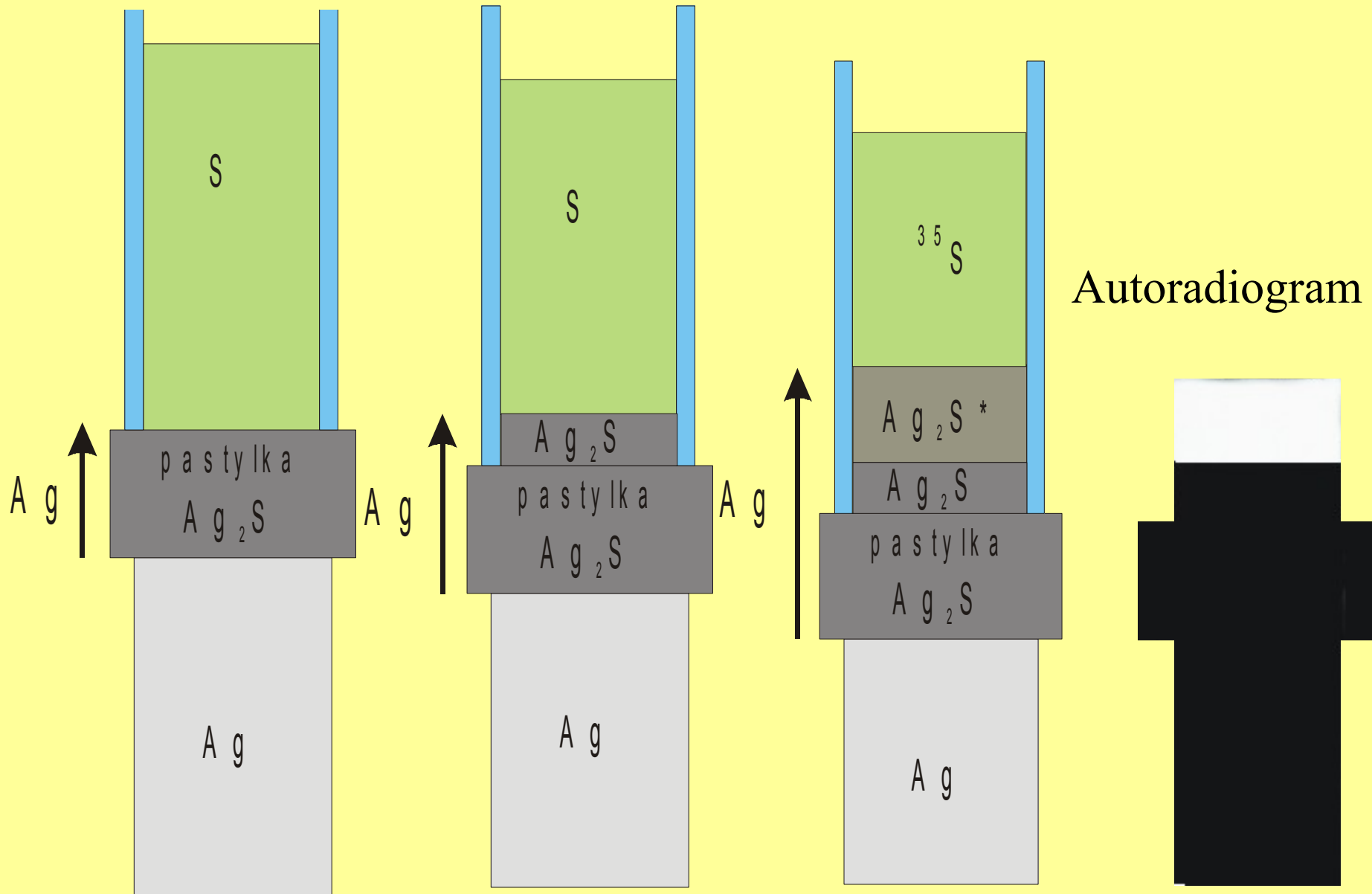
# ZMODYFIKOWANA METODA PASTYLKOWA



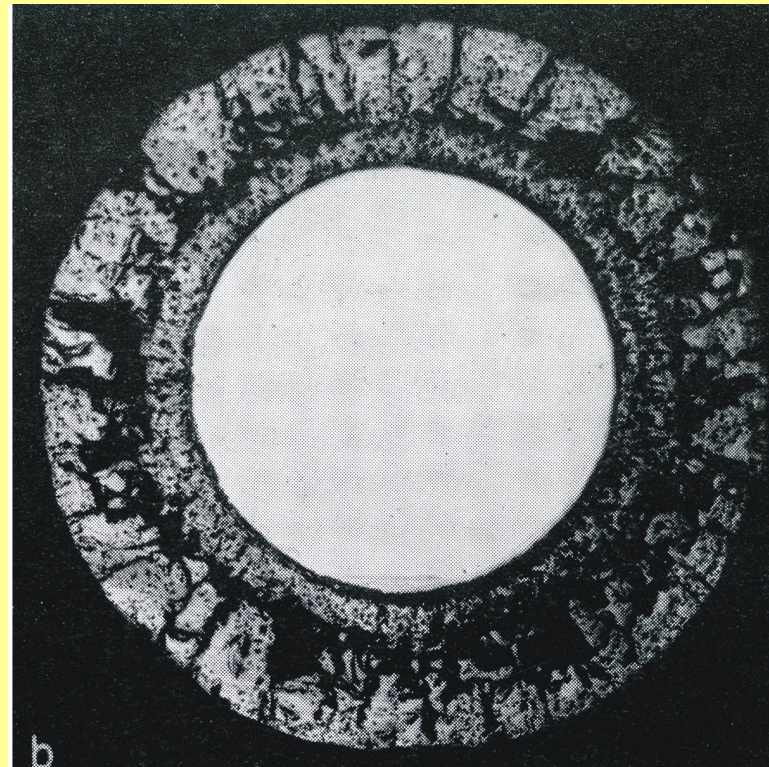
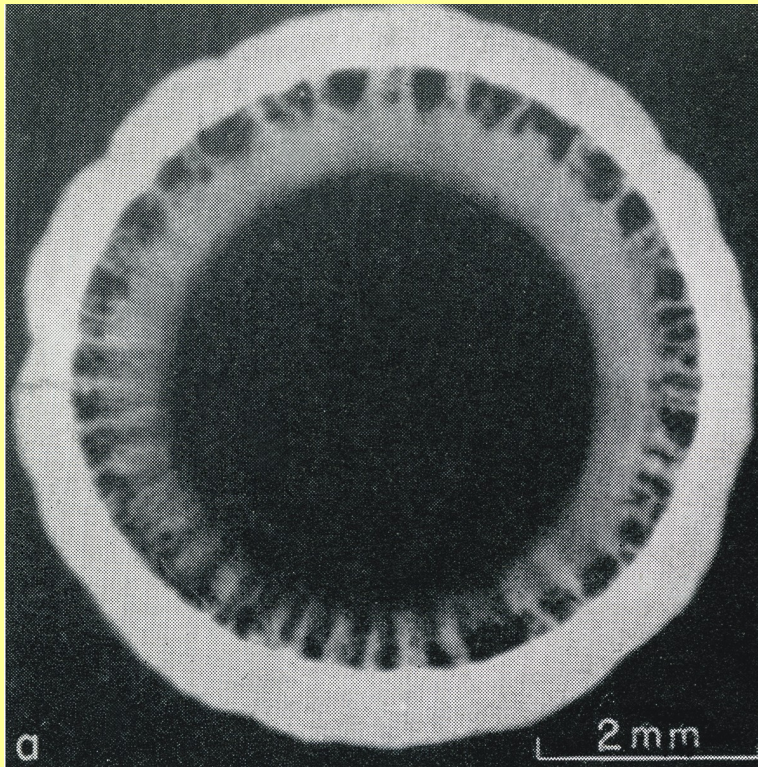
# ZMODYFIKOWANA METODA PASTYLKOWA



# METODA PASTYLKOWA WAGNERA



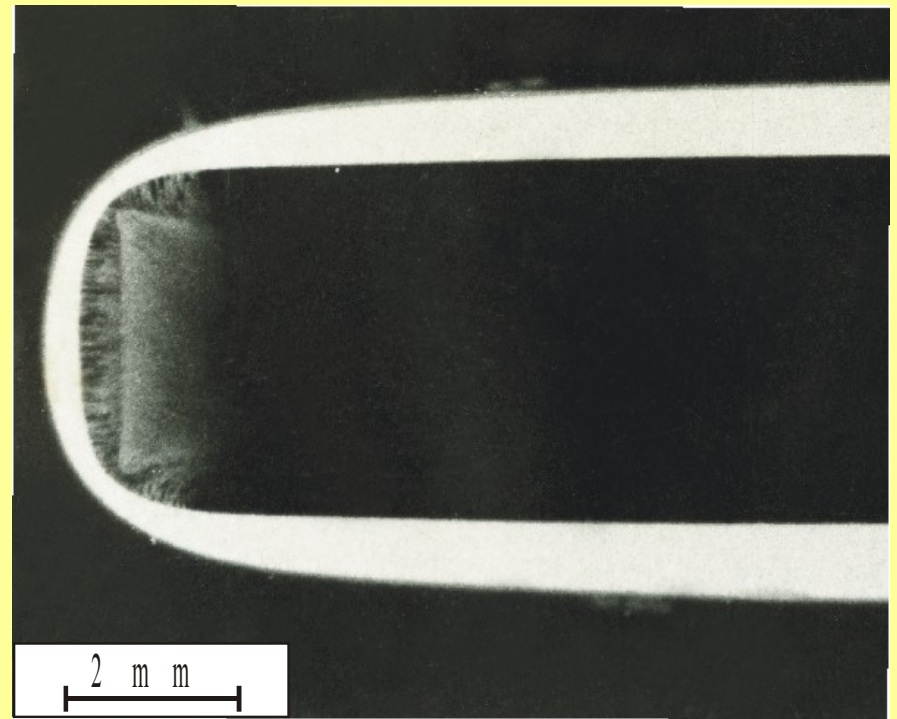
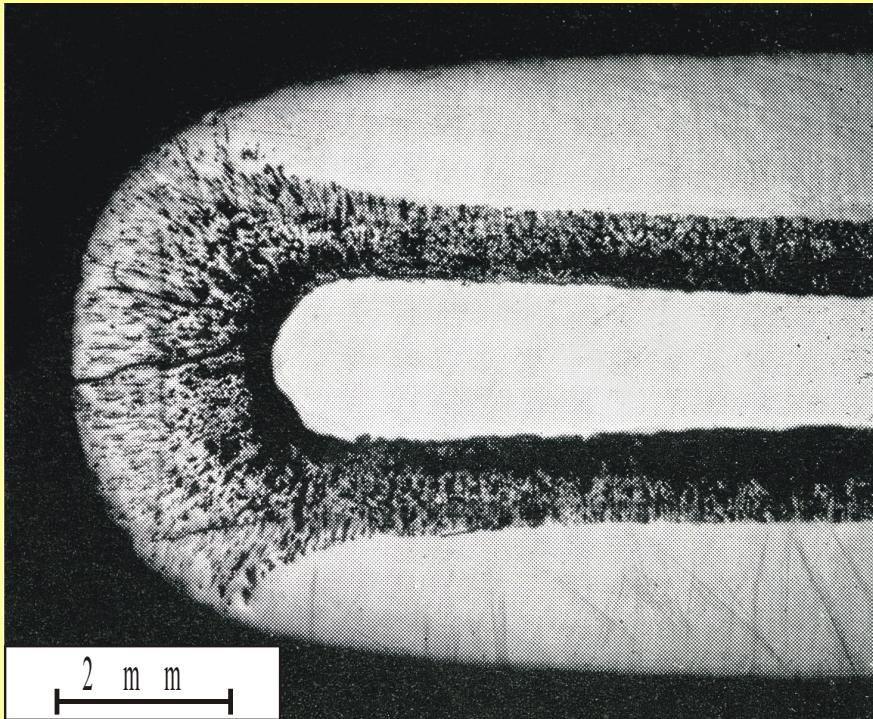
# ILUSTRACJA SZCZELIN DYSOCJACYJNYCH W ZGORZELINIE SIARCZKOWEJ NA ŻELAZIE



Autoradiogram

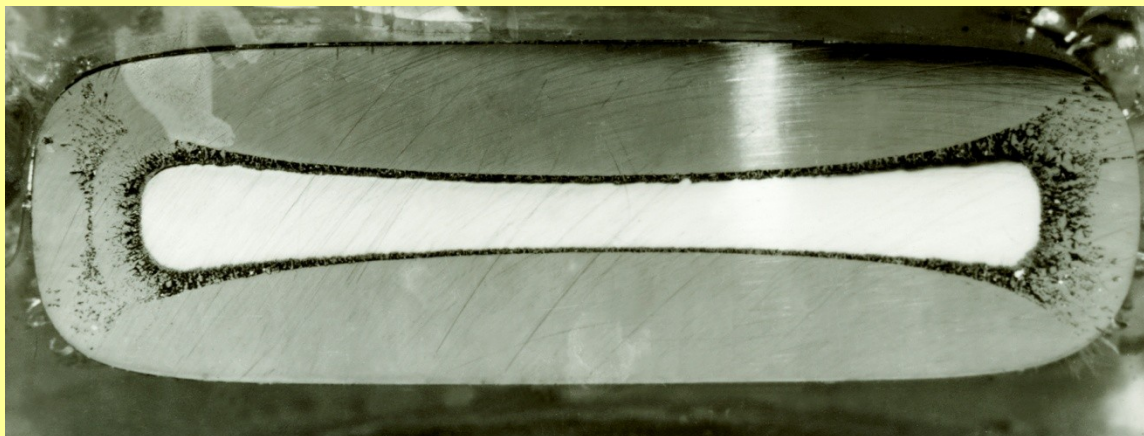


# WPŁYW KRAWĘDZI NA POWSTAWANIE ZGORZELINY SIARCZKOWEJ NA MIEDZI

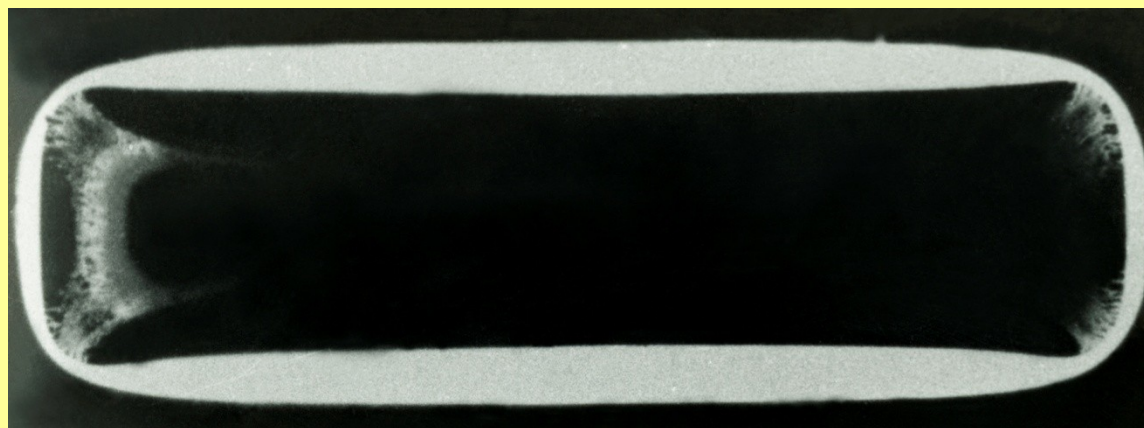


Autoradiogram

# WPŁYW KRAWĘDZI NA POWSTAWANIE ZGORZELINY SIARCZKOWEJ NA SREBRZE

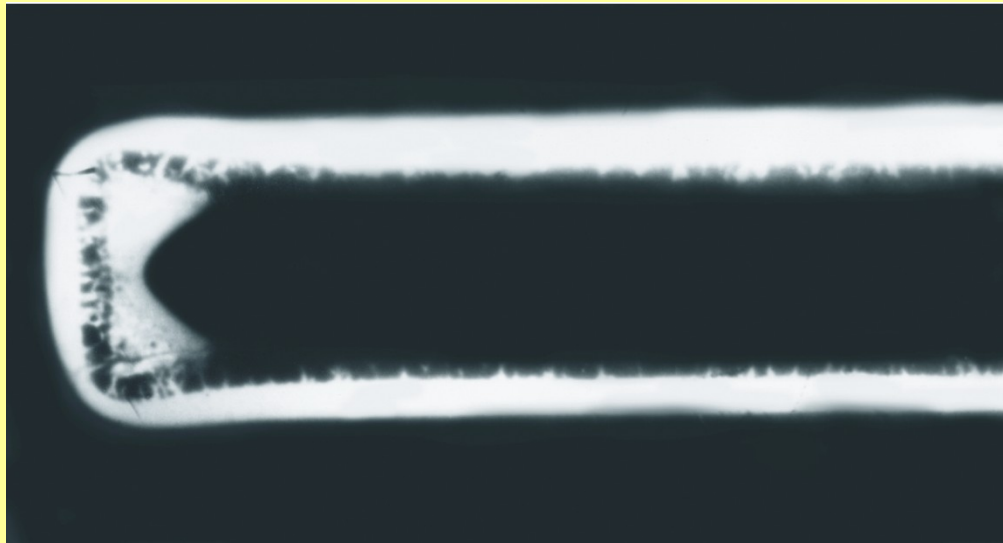
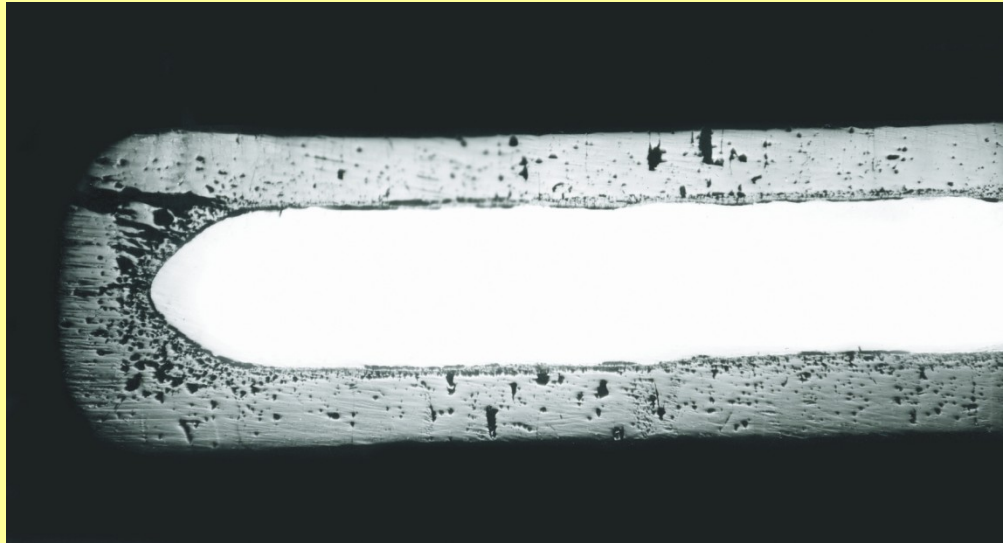


fotografia



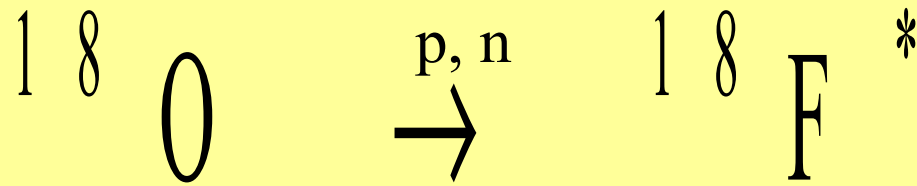
autoradiogram

# WPŁYW KRAWĘDZI NA POWSTAWANIE ZGORZELINY TLENKOWEJ NA KOBALCIE

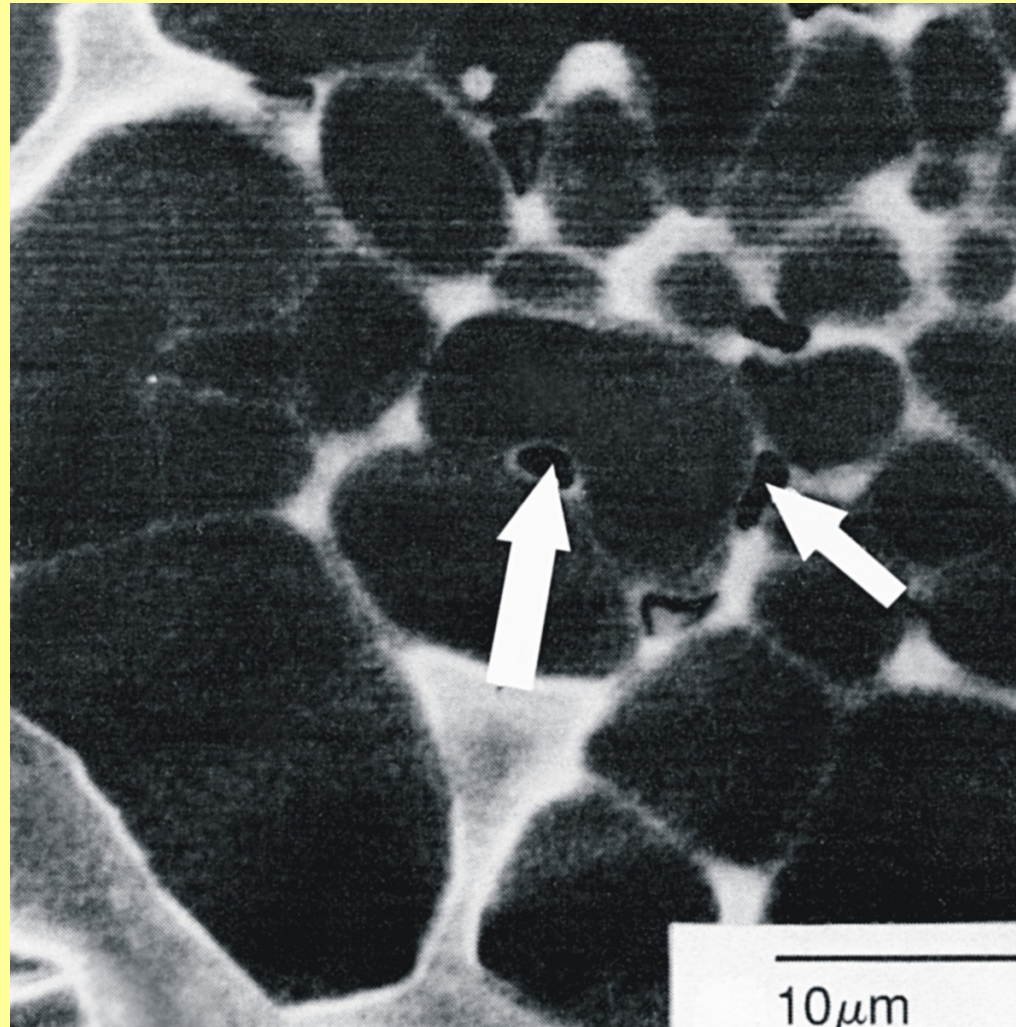


Autoradiogram

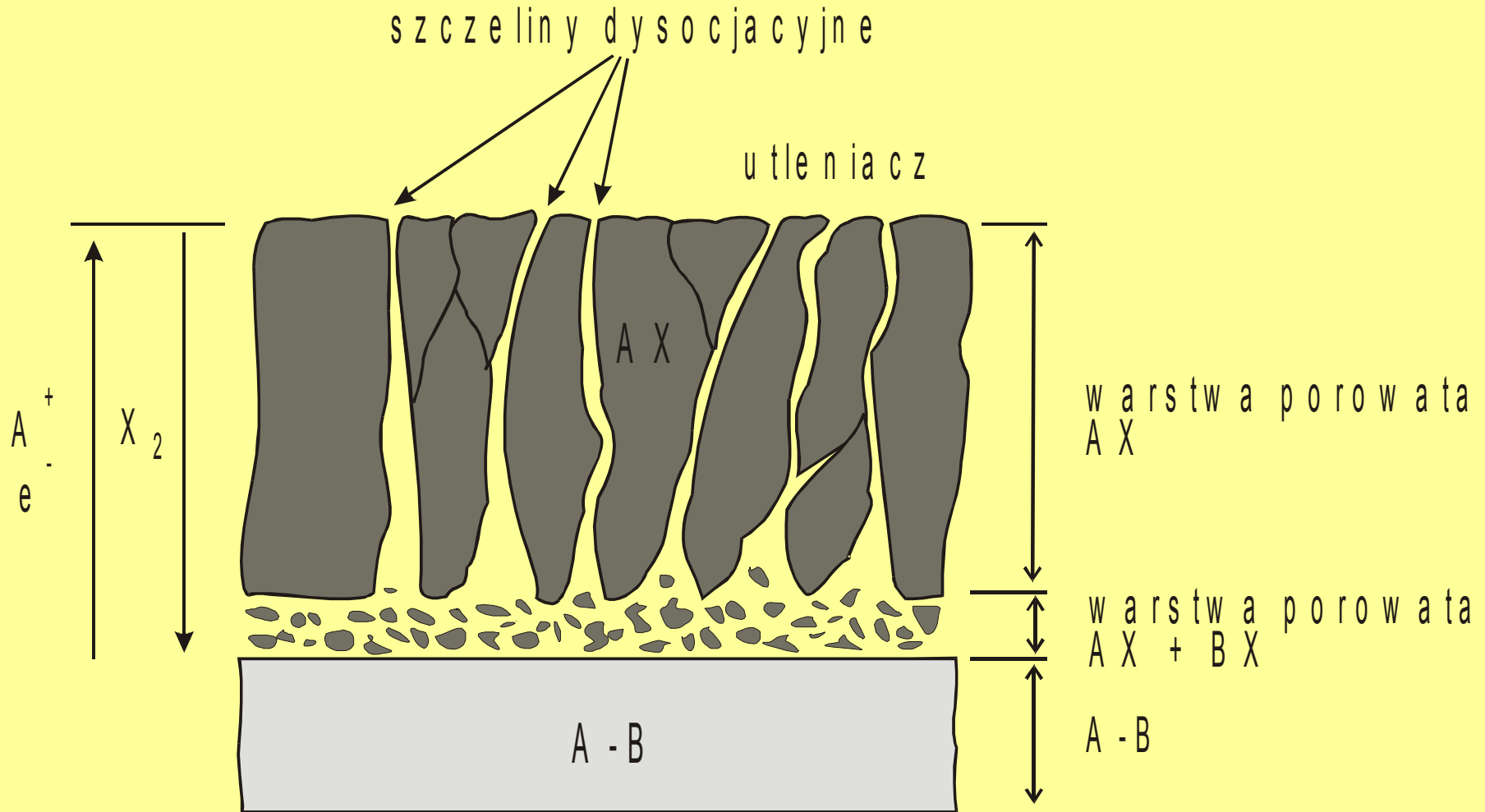
Bombardowanie wiązką protonów przekroju zgorzeliny,  
prowadzące do powstania radioaktywnego fluoru  $^{18}\text{F}$   
z tlenu  $^{18}\text{O}$



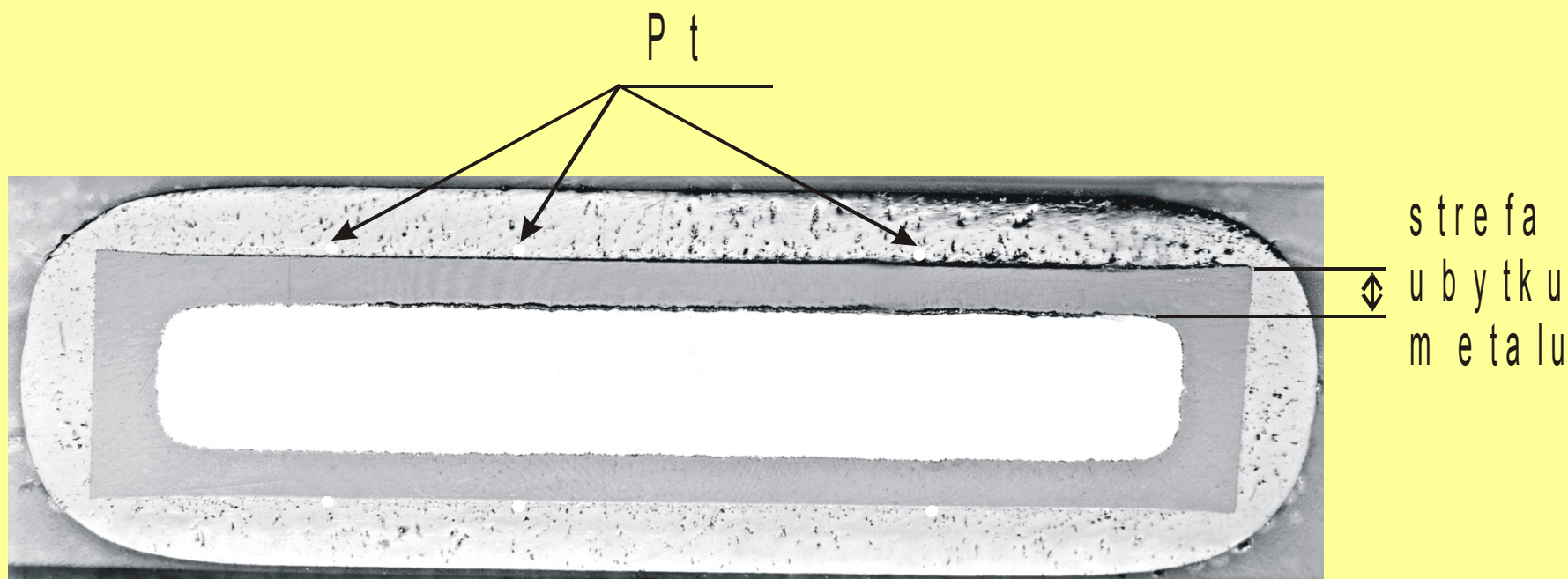
OBRAZ POWSTAWANIA SZCZELIN DYSOCJACYJNYCH  
W ROSNĄCEJ ZGORZELINIE TLENKOWEJ NA MIEDZI,  
UZYSKANY W EKSPERYMENCIE „*IN SITU*”



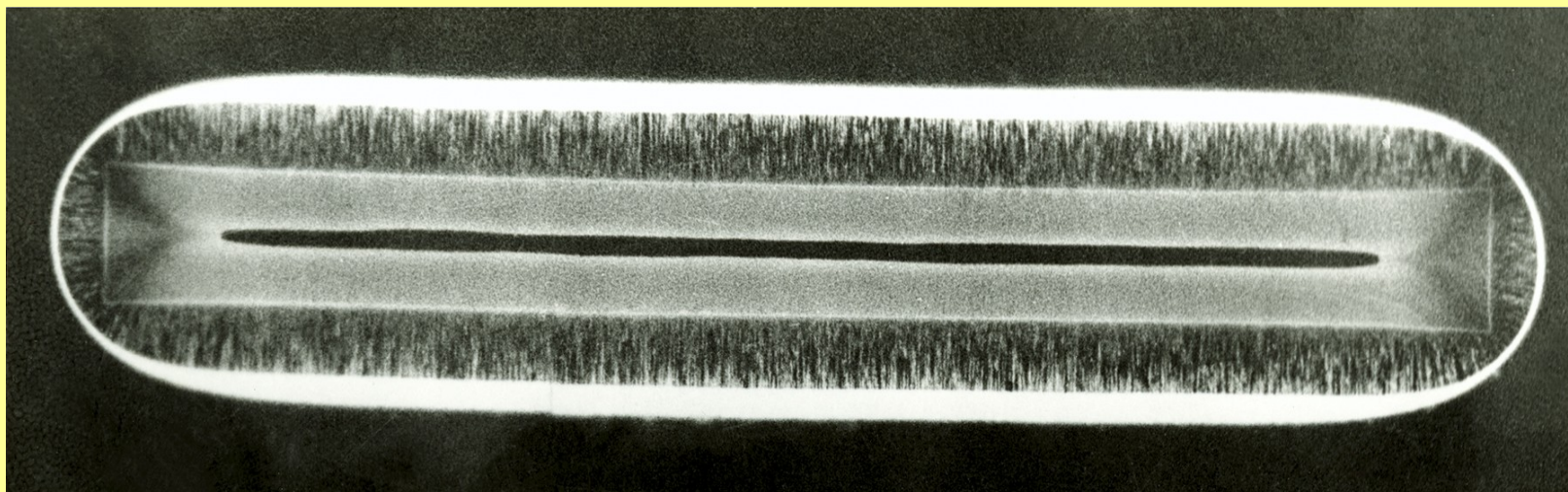
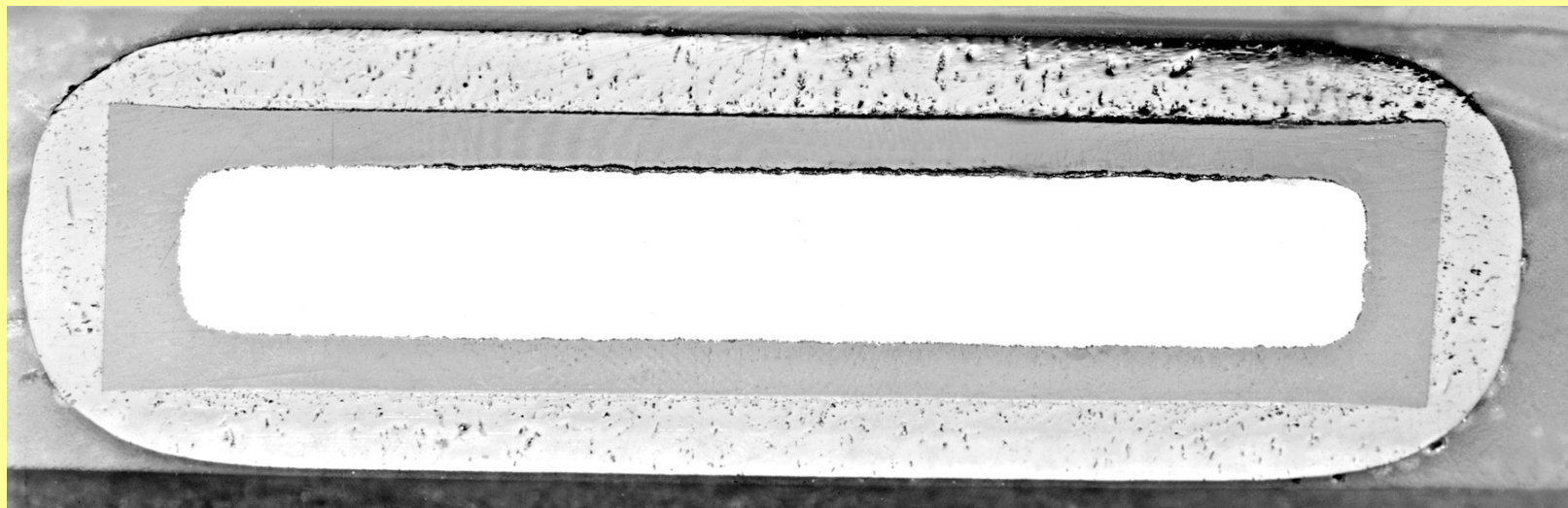
# SCHEMAT MECHANIZMU DYSOCJACYJNEGO, POWSTAWANIA ZGORZELIN NA STOPACH A-B



OBRAZ DWUWARSTWOWEJ ZGORZELINY  
SIARCZKOWEJ NA STOPIE Cu-9%Zn, UZYSKANEJ  
W PROCESIE DWUETAPOWEGO SIARKOWANIA

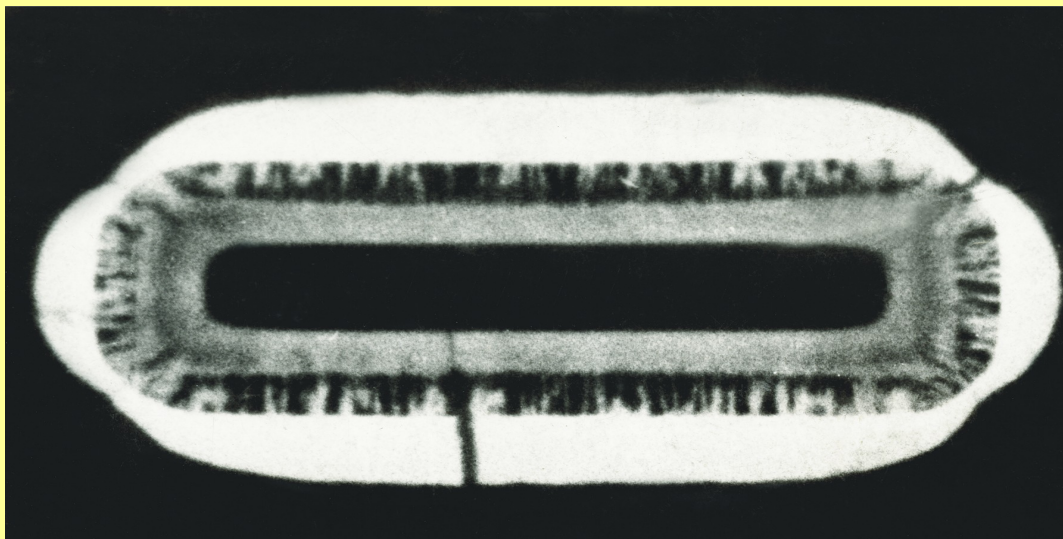
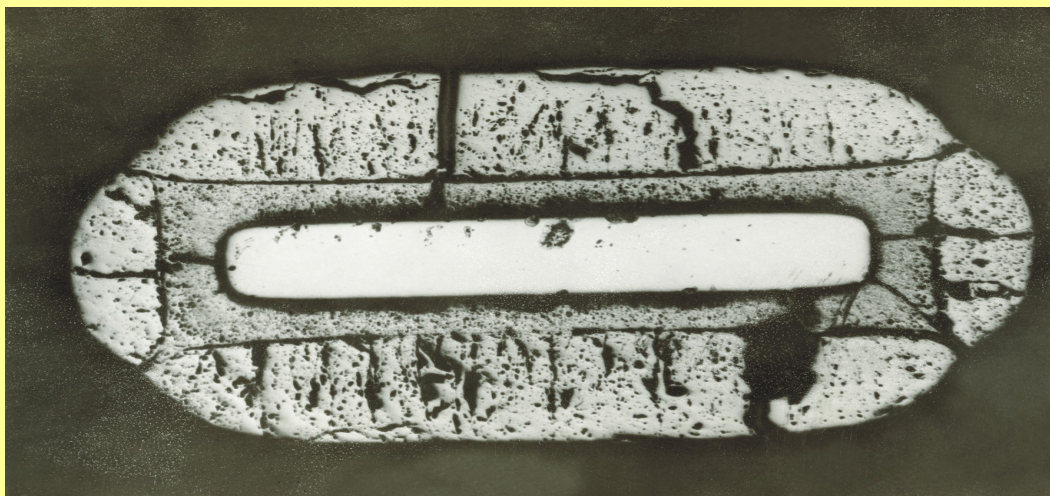


OBRAZ DWUWARSTWOWEJ ZGORZELINY  
SIARCZKOWEJ NA STOPIE Cu-9%Zn,  
UZYSKANEJ W PROCESIE DWUETAPOWEGO  
SIARKOWANIA



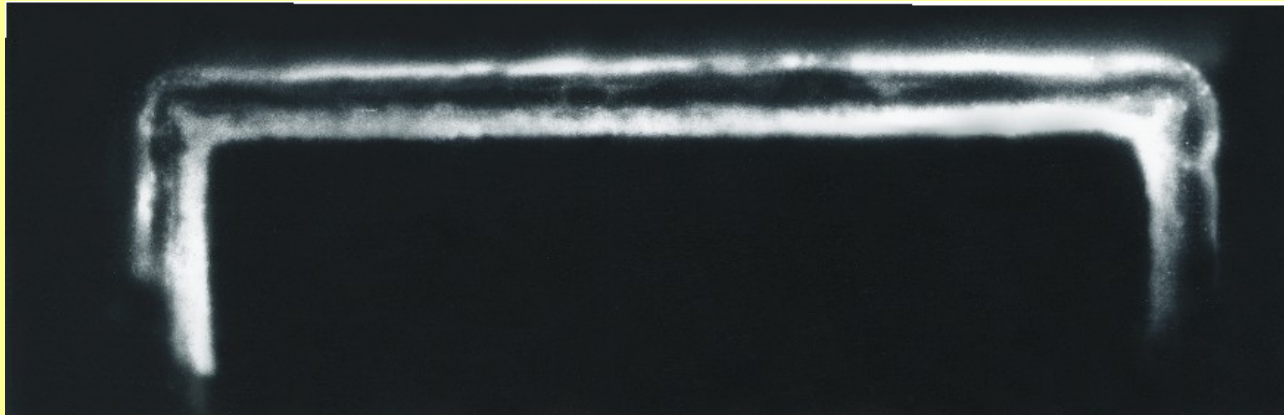
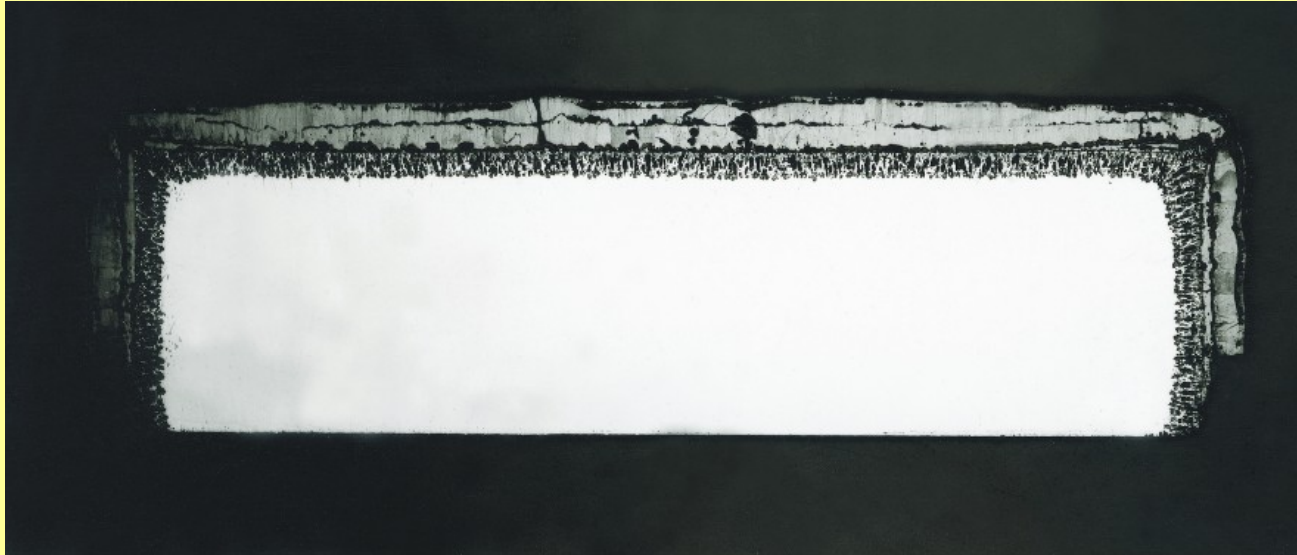


OBRAZ SZCZELIN DYSOCJACYJNYCH W ZGORZELINIE  
SIARCZKOWEJ NA STALI NISKOSTOPOWEJ, UZYSKANEJ  
W PROCESIE DWUETAPOWEGO SIARKOWANIA



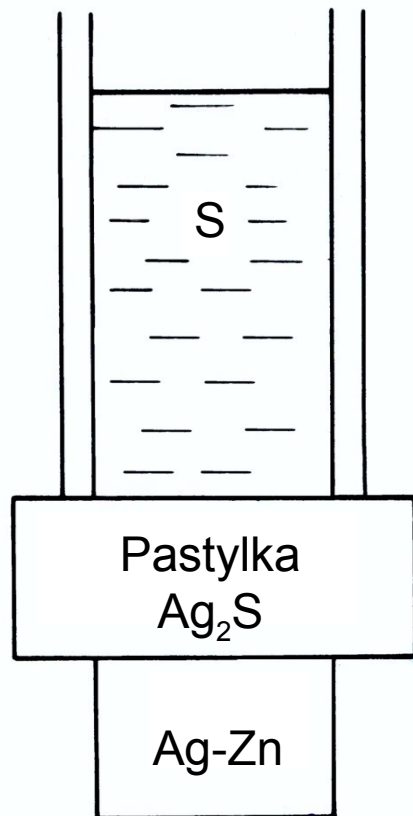
Autoradiogram

OBRAZ SZCZELIN DYSOCJACYJNYCH W ZGORZELINIE  
TLENKOWEJ NA STALI NISKOSTOPOWEJ, UZYSKANEJ  
W PROCESIE DWUETAPOWEGO UTLENIANIA

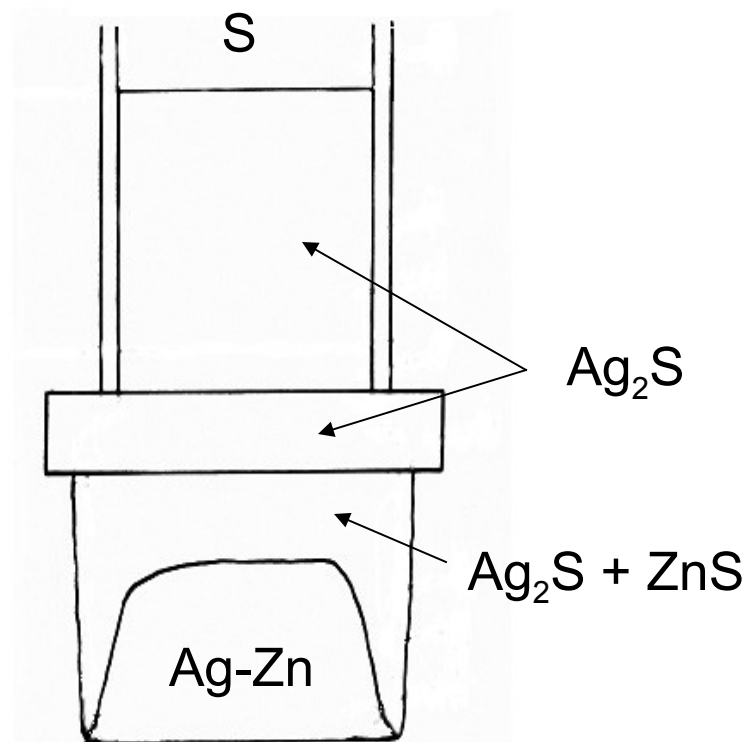


Autoradiogram

# Schemat pastylkowej metody Wagnera, zastosowanej do siarkowania stopu Ag-Zn

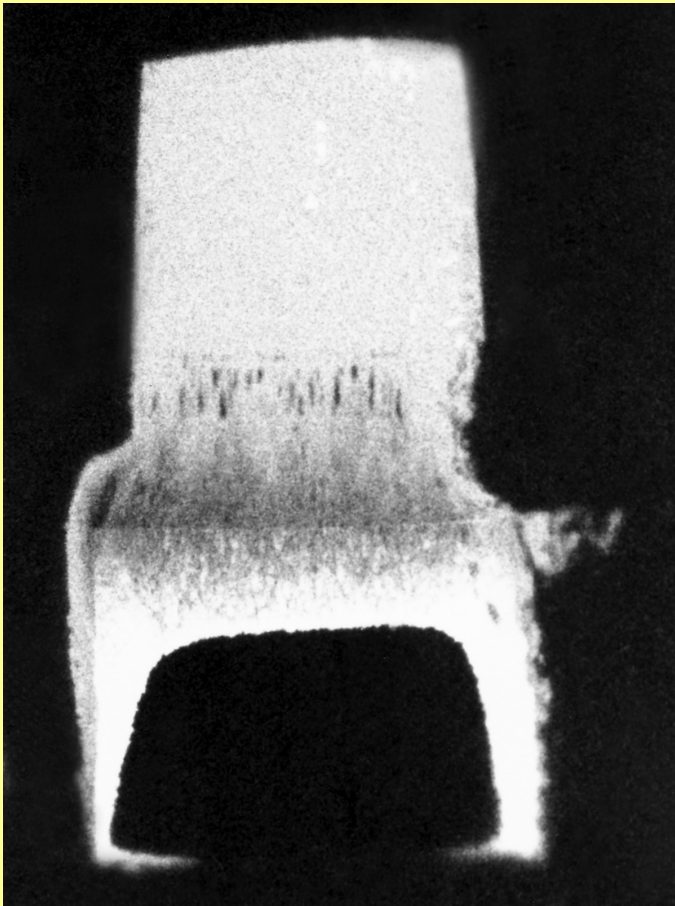


Przed reakcją

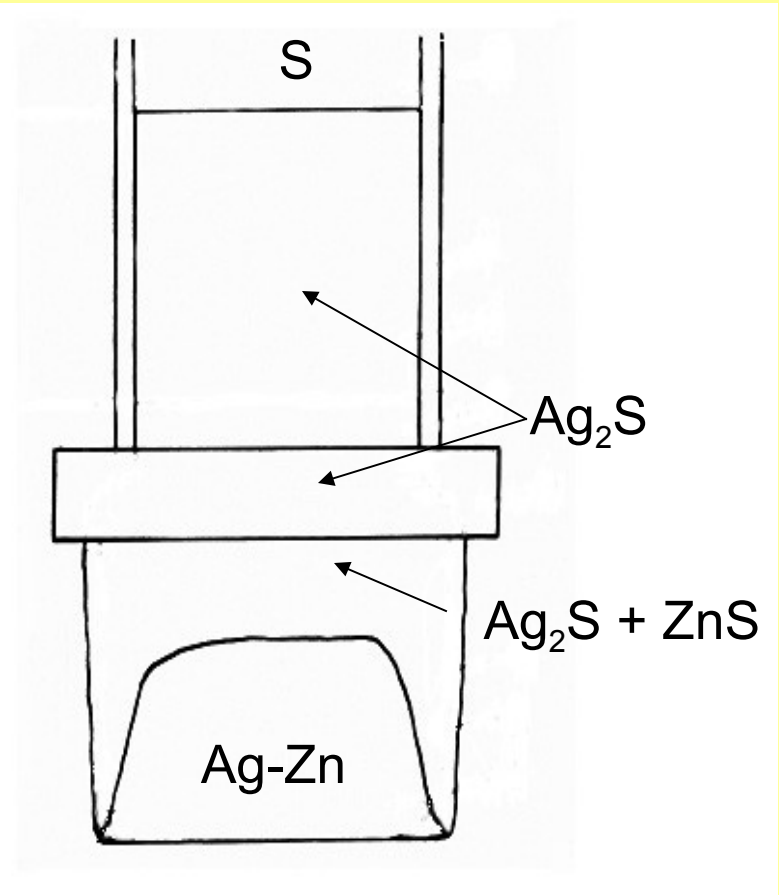


Po reakcji

# Stop Ag-Zn po dwuetapowym eksperymencie siarkowania w układzie pastylkowym



autoradiogram



schemat układu

# PODSUMOWANIE

Wyniki przedstawionych badań uznano w literaturze za ostateczny dowód stwierdzenia, że specyficzną, zależną od geometrii układu reagującego morfologię zgorzelin rosnących na metalach i stopach, należy wiązać przede wszystkim z anizotropowym procesem dysocjacji pierwotnej warstwy zwartej, a nie z pękaniem zgorzeliney w wyniku naprężeń.

**KONIEC**